

オゾン層観測速報

平成19年1月22日 (1/5)

気象庁オゾン層情報センター

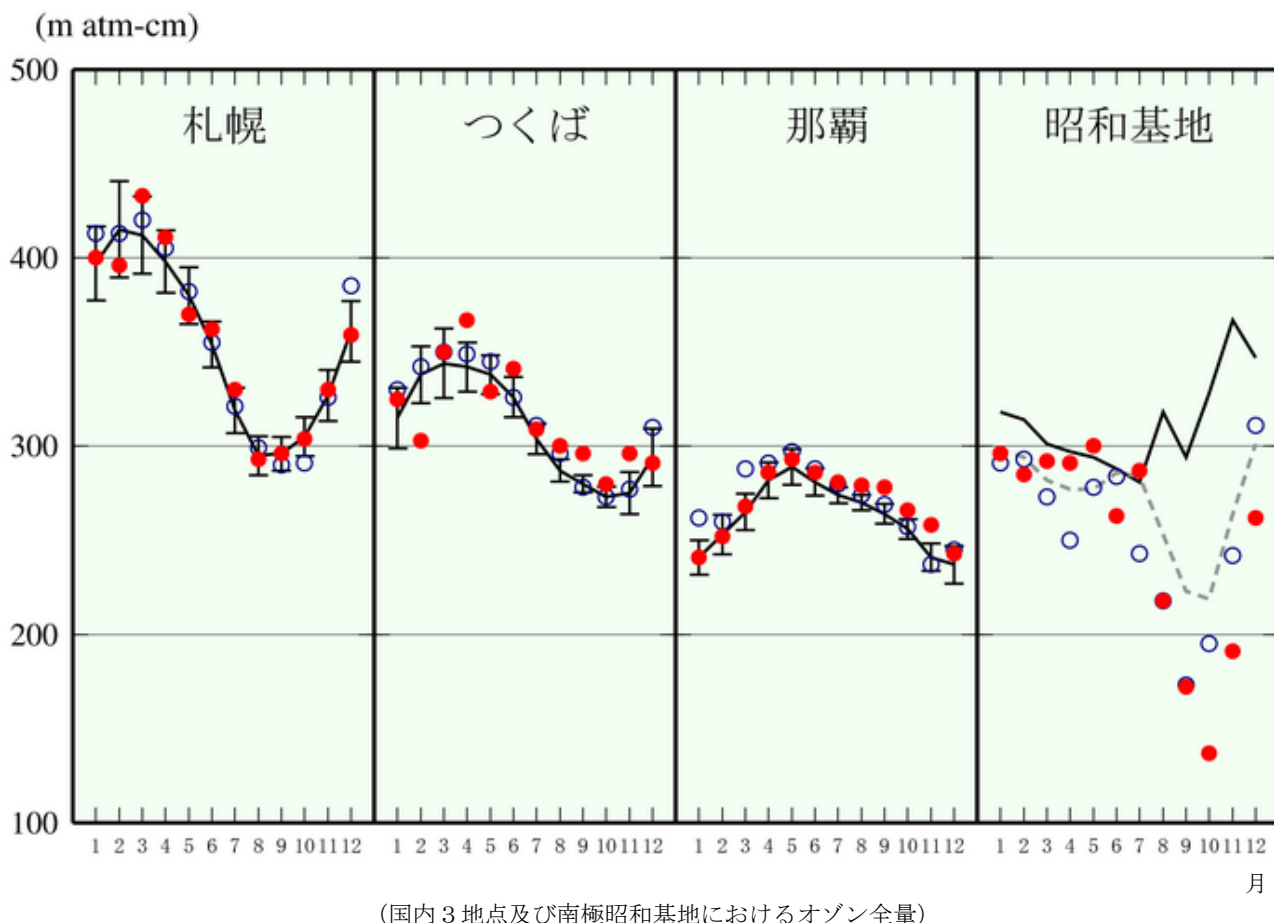
オゾン全量 (2006年12月)

[概況]

2006年12月の国内3地点における月平均オゾン全量¹⁾は、参照値²⁾と比較すると、全ての地点で並であった。

[観測結果]

	札幌	つくば	那覇	昭和基地
オゾン全量 (m atm-cm)	359	291	243	262
参照値 ²⁾ からの偏差(m atm-cm)	-2	-3	+6	-85
偏差の参照値に対する比(%)	-0.6	-1.0	+2.5	-24.5



●は2006年の月平均値、○は2005年の月平均値を示す。実線は参照値²⁾、縦実線は標準偏差を示す。
昭和基地の点線はオゾンホールが明瞭に現れるようになってから(1981~2000年)の月別平均値を示す。

注 1) オゾン全量：ある地点の上空に存在するオゾンの総量を表す。大気の上端から下端までの全層に存在するオゾンを全て仮に地表付近に集め、これを0℃、1気圧にしたときの厚さをいう。cm単位での数値を1000倍してm atm-cm(ミリアトムセンチメートル)という単位で表す。ドブソンユニット(DU)ともいう。

2) 参照値：1971~2000年の月別平均値で、平均的なオゾンの状況を示す。ただし、那覇では1974(観測開始)~2000年、昭和基地ではオゾンホールが明瞭に現れる以前の1961~1980年の月別平均値。参照値との差が標準偏差以内にあるときは「並」、それより大きいときは「多い」、それより小さいときは「少ない」とする。

オゾン層観測速報

平成19年1月22日(2/5)

気象庁オゾン層情報センター

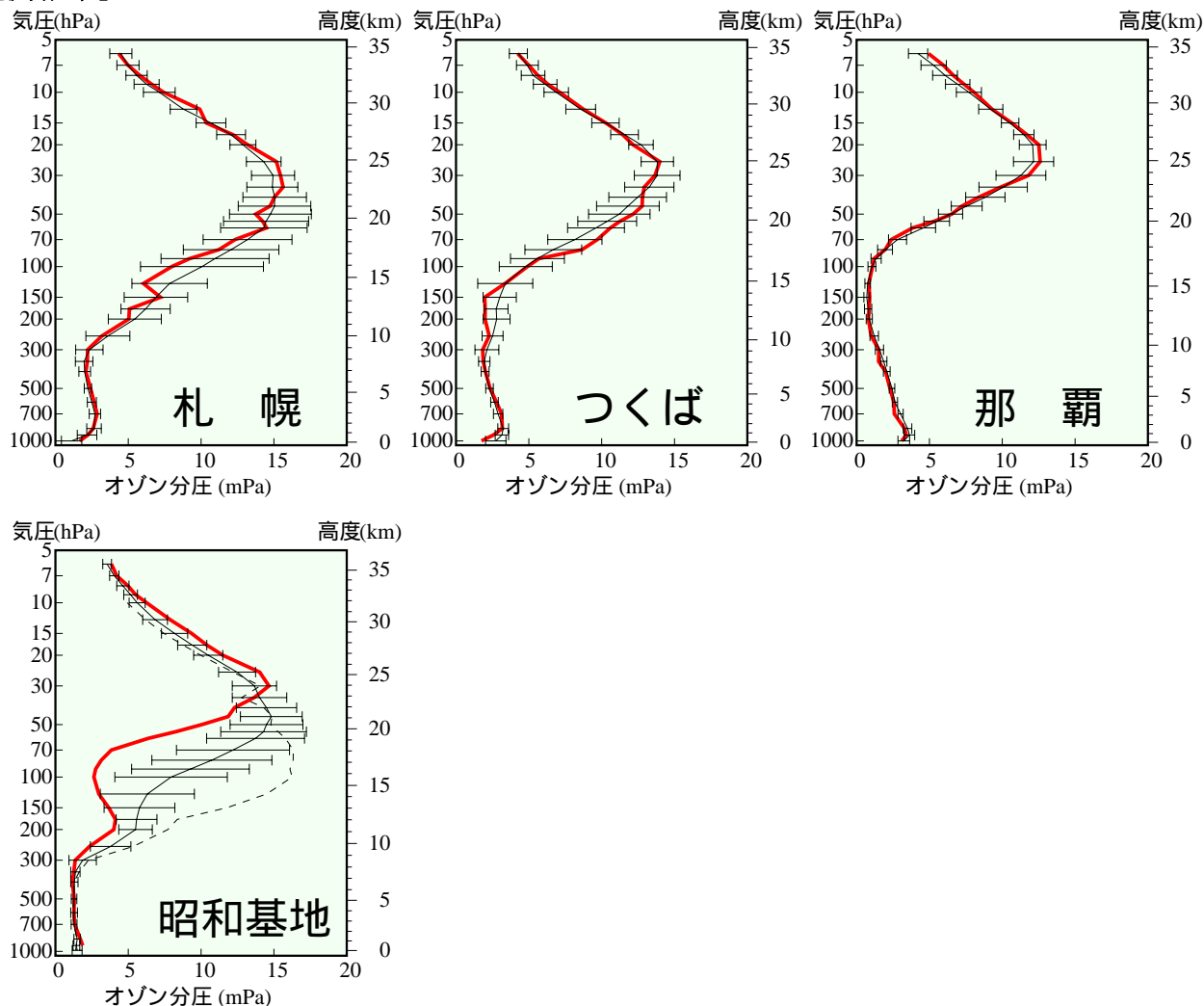
オゾンの高度分布(2006年12月)

[概況]

2006年12月の国内3地点及び昭和基地におけるオゾンゾンデ観測によると、各高度のオゾン分圧¹⁾は、参照値²⁾と比較すると、つくばの地上～高度1kmで低かった。

昭和基地の高度16km付近では、オゾンホールが明瞭に現れる以前の1968～1980年の平均に対して16%まで減少していた。

[観測結果]



(国内3地点及び南極昭和基地におけるオゾン分圧の高度分布)

太実線は2006年12月の月平均値、細実線は12月の参考値²⁾、横細実線は標準偏差を示す。

なお、昭和基地の点線はオゾンホールが明瞭に現れる以前(1968～1980年)の12月の月平均値を示す。

注 1) オゾン分圧：ある高さでの大気の圧力(気圧)は、各種気体成分の圧力(分圧)の総和であり、オゾンが占める圧力をオゾン分圧という。「オゾン分圧が高い」とは、その高さにおけるオゾンの量が多いということである。

2) 参照値：1971～2000年の月別平均値で、平均的なオゾンの状況を示す。ただし、那覇では1989(観測開始)～2000年の月別平均値。参考値との差が標準偏差以内にあるときは「並」、それより大きいときは「高い」、それより小さいときは「低い」とする。

オゾン層観測速報

平成19年1月22日(3/5)

気象庁オゾン層情報センター

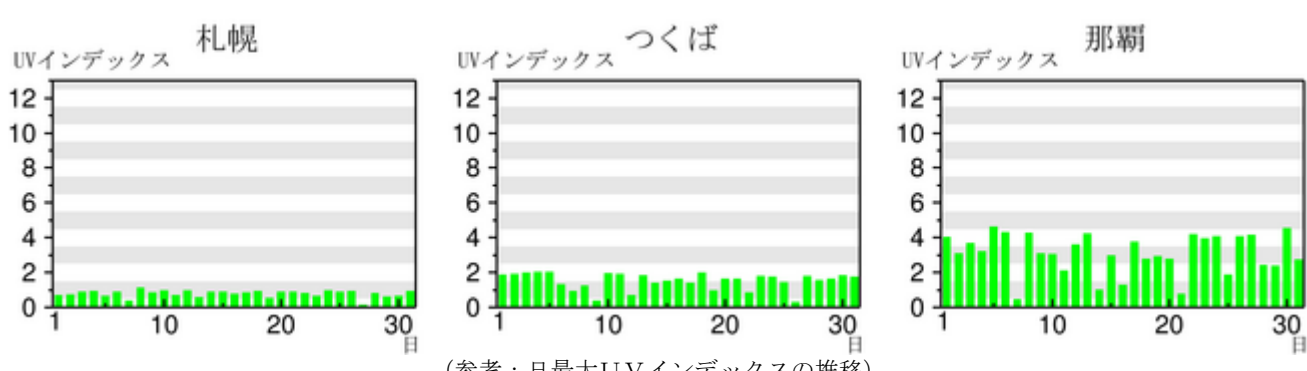
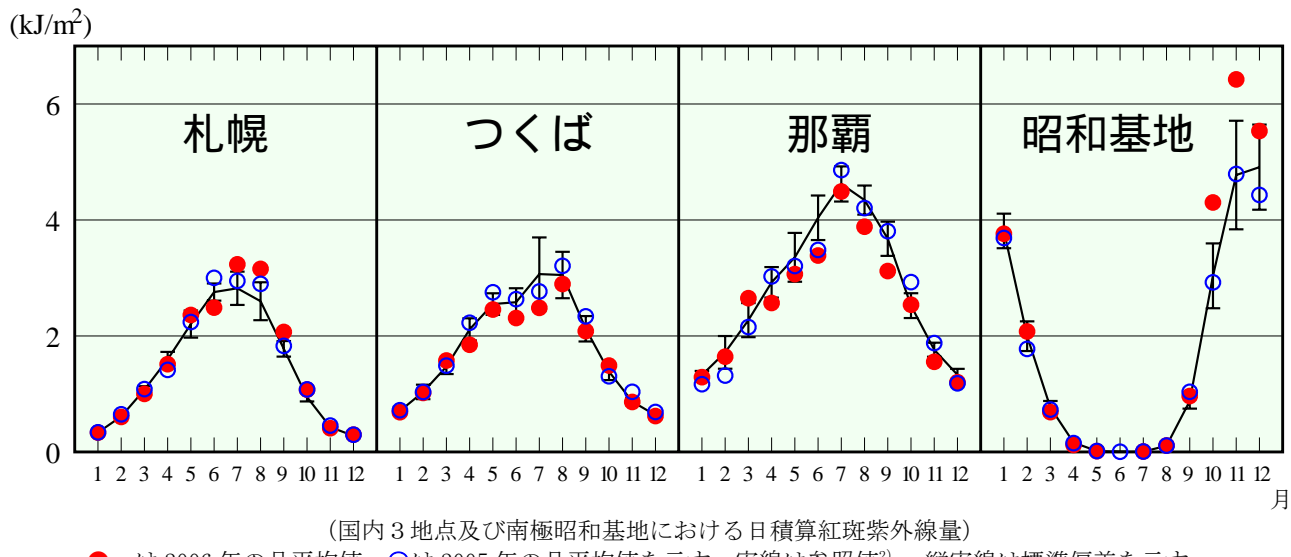
日積算紅斑紫外線量(2006年12月)

[概況]

2006年12月の国内3地点における日積算紅斑紫外線量¹⁾の月平均値は、参照値²⁾と比較すると、札幌で多く、那覇で少なく、つくばで並であった。

[観測結果]

	札幌	つくば	那覇	昭和基地
日積算紅斑紫外線量(kJ/m ²)	0.30	0.62	1.20	5.53
参照値 ²⁾ からの偏差(kJ/m ²)	+0.02	-0.02	-0.13	+0.57
[参考]日積算UV-B量 ³⁾ (kJ/m ²)	1.80	4.59	9.21	42.40



注 1) 紅斑(こうはん)紫外線量: 紫外線が人体へ及ぼす影響の度合を示す量。紅斑とは紫外線を浴びた後皮膚が赤くなることをいう。紫外線が人体に及ぼす影響は波長によって異なるため、280~400nm(ナノメートル)の波長範囲について、波長別紫外線強度に人体への相対的影響度を波長ごとに掛け、積算して求める。紅斑紫外線量を25mW/m²で割った値がUVインデックスである。

2) 参照値: 観測開始~2005年の月別累年平均値で、平均的な紅斑紫外線量の状況を示す。観測開始は、札幌、那覇で1991年、つくばで1990年、昭和基地で1993年。紅斑紫外線量の参照値との差が標準偏差以内にあるときを「並」、それより大きいときを「多い」、それより小さいときを「少ない」とする。

3) UV-B量: 波長が280~315nm(ナノメートル)の紫外線強度の積算値。

4) 日積算紅斑紫外線量と日積算UV-B量を算出するにあたり、札幌とつくば、那覇については観測器の調整等で観測を行っていない時間のデータとしてオゾン全量や気象データ等から推定したデータを用いている。

5) 日最大UVインデックスの推移図では、観測機器の調整等で日最大UVインデックスを算出できない場合には白抜き表示す。

オゾン層観測速報

平成19年1月22日(4/5)

気象庁オゾン層情報センター

UVインデックス(2006年12月)

[概況]

2006年12月の日最大UVインデックス¹⁾の月平均値(解析値)は、紫外線が中程度であることを示す3～5の領域が小笠原諸島および南西諸島で見られた(図1)。東北南部、北陸および近畿から南西諸島にかけて、参考値²⁾に対して10%を超える負偏差の領域が見られた(図2)。

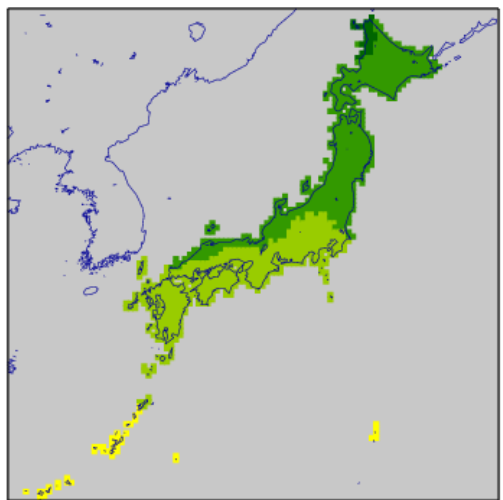


図1：12月の日最大UVインデックスの月平均分布(解析値)

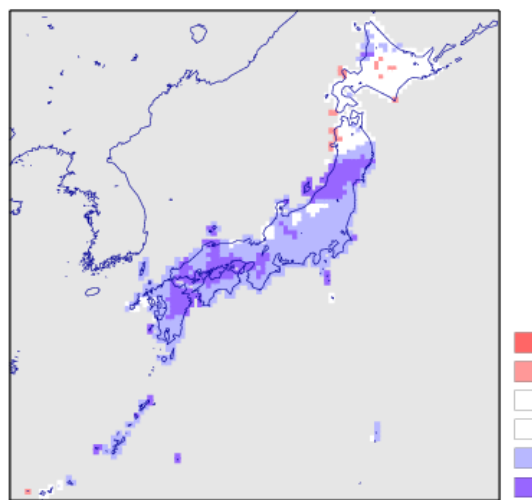


図2：12月の日最大UVインデックスの参考値からの偏差(解析値)

注 1)UVインデックス：UVインデックスは、紅斑紫外線量(前ページ参照)を日常使いやすい数値にしたもので、紫外線対策を目的として国際的に広く用いられている。UVインデックスの解析値は、毎時のUVインデックスを上空のオゾン量のデータや、気象台やアメダスで観測された気象データ等を基に推定した値である。なお、UVインデックスの予測・観測・解析情報は、気象庁ホームページ(<http://www.jma.go.jp/>)で発表しており、UVインデックスに応じた紫外線対策や求め方などの詳しい解説も掲載している。

2)参 照 値：1997～2005年の月別累年平均値で、平均的な日最大UVインデックスの状況を示す。

オゾン層観測速報

平成19年1月22日(5/5)

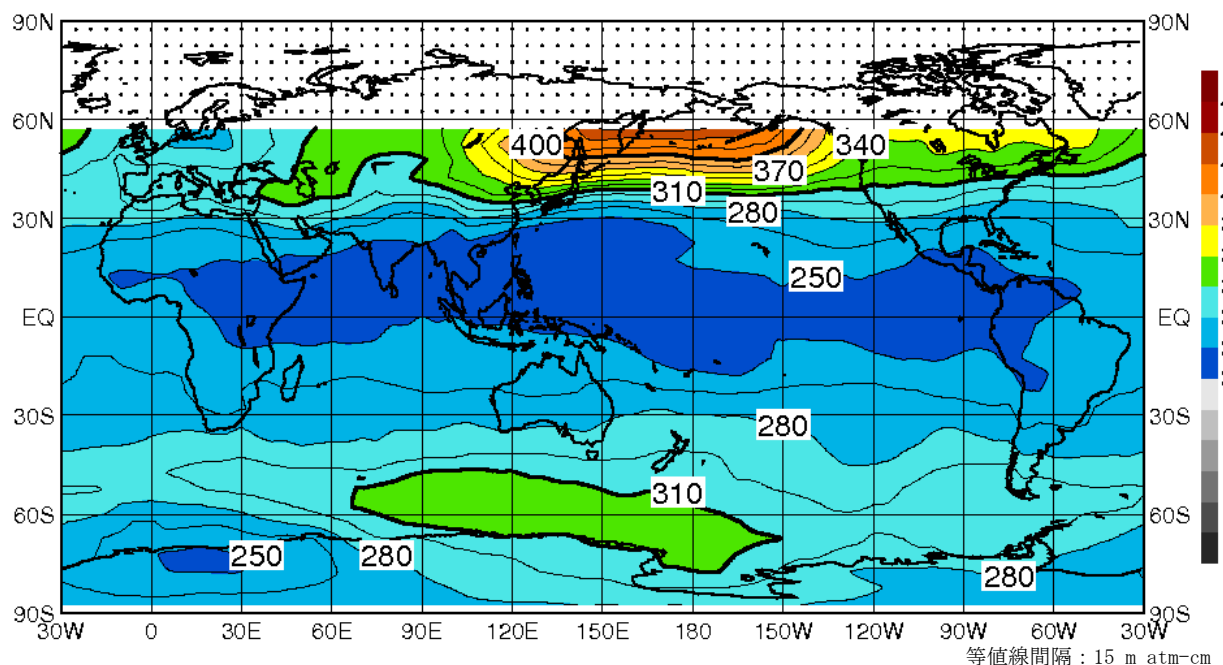
気象庁オゾン層情報センター

世界のオゾン全量分布(2006年12月)

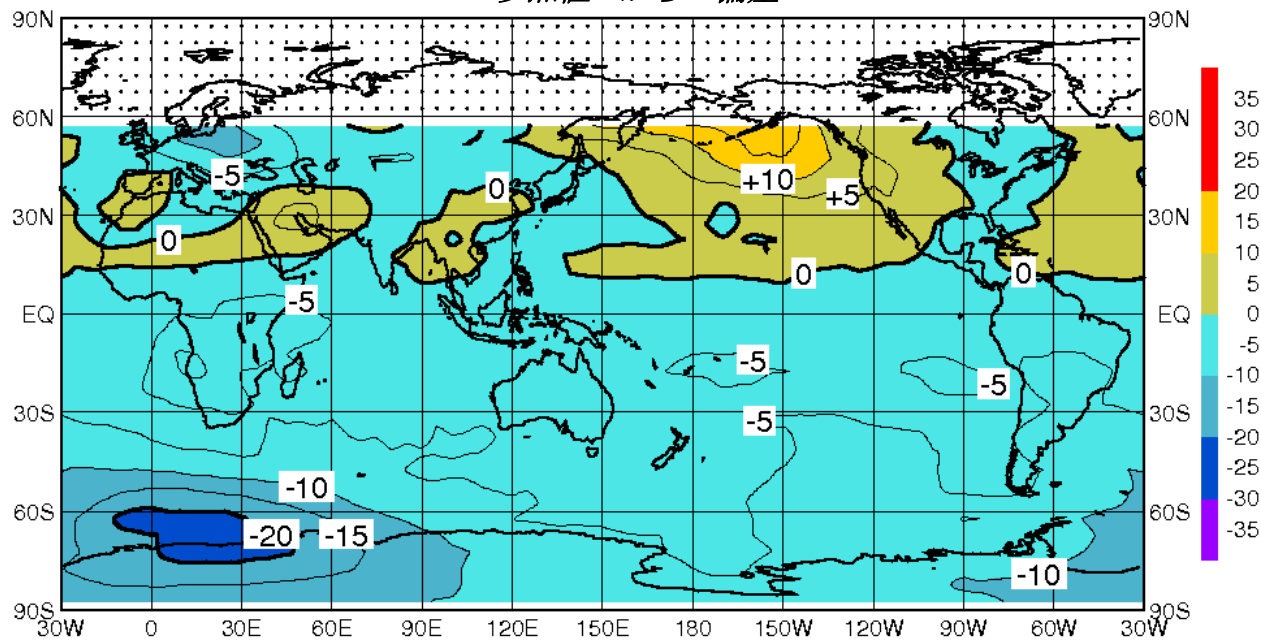
[概況]

衛星観測資料によると2006年12月の月平均オゾン全量は、ベーリング海およびアラスカで、10%を超える正偏差領域が見られた。またバルト海及び南極大陸周辺に10%を超える負偏差領域が見られた。特に南極大陸では西経10度から東経50度にかけ、20%を超える負偏差領域が見られた。

オゾン全量分布



参照値¹⁾からの偏差



米国航空宇宙局(NASA)のAURA衛星に搭載されたOMIデータ(OMI:オゾン監視装置)を基に作成した。

- 注 1) 参照値: NASAのニンバス7衛星に搭載されたTOMSデータで得られた1979~1992年の月別平均値で、平均的なオゾンの状況を示す。
2) 極域における陰影部は、太陽高度角との関係からデータの取得できない領域を示す。